

# پاسخ ترمو دینامیکی سیستم روسازی با لایه آسفالتی متخلخل تحت بار ترافیکی

محسن رستم خانی<sup>۱</sup>، ندا کامبوزیا<sup>۲\*</sup>، محمود عامری<sup>۳</sup>

۱. دانشجوی کارشناسی ارشد راه و ترابری، دانشگاه علم و صنعت ایران

۲. استادیار گروه راه و ترابری، دانشکده مهندسی عمران، دانشگاه علم و صنعت ایران

۳. استاد گروه راه و ترابری، دانشکده مهندسی عمران، دانشگاه علم و صنعت ایران

\*nkamboozia@iust.ac.ir

تاریخ دریافت: ۹۹/۰۸/۲۸  
تاریخ پذیرش: ۹۹/۱۲/۲۴

## چکیده

سیستم روسازی با لایه آسفالتی متخلخل به دلیل داشتن ویژگی‌های فیزیکی و مکانیکی قابل توجه از جمله کاهش آلودگی صوتی، جذب جریان آب، مقرن به صرفه بودن برای پارکینگ‌ها، جاده‌ها، و باندهای فرودگاه مورد استفاده قرار گرفته است. در این مطالعه، رفتار دینامیکی سیستم روسازی آسفالت متخلخل ویسکوالاستیک تحت یک بار هارمونیک متحرک بر اساس تئوری کلاسیک ورق‌ها تحت شرایط دمایی مختلف به صورت عددی و تحلیلی مورد تجزیه و تحلیل قرار گرفته است. سیستم روسازی به صورت یک سازه ساندویچی مستطیلی مدل‌سازی شده است. برای درنظر گرفتن خواص تخلخل، سه مدل توزیع تخلخل یکنواخت، تخلخل متقارن غیریکنواخت و تخلخل نامتقارن غیریکنواخت برای لایه آسفالت متخلخل در نظر گرفته شده است که خواص مکانیکی انها در جهات درون‌صفحه و ضخامت تغییر می‌کنند. به هر ماده‌ای که چگالی آن در اثر افزایش حجم ناشی از قرار گرفتن حفرات و تخلخل‌های گازی کاهش یابد، ماده متخلخل می‌گویند. معادلات حرکت از طریق اصل همیلتون استخراج شده و سپس با استفاده از بسط سری فوریه حل می‌شوند. دقت و درستی فرمول‌بندی به دست آمده با مقایسه داده‌های موجود در ادبیات این زمینه و شبیه‌سازی المان محدود در نرم‌افزار COMSOL Multiphysics® کاملاً تثان داده می‌شوند. مطالعات پارامتری انجام گرفته در این کار، آثار سرعت و فرکанс تحریک بار متحرک هارمونیک، توزیع تخلخل و تغییرات دما را بر پاسخ دینامیکی سیستم روسازی آشکار می‌سازد. نتایج بدست آمد نشان داده است که رفتار دینامیکی سیستم روسازی آسفالت به طور محسوسی تحت تأثیر چنین عواملی قرار می‌گیرند. علاوه بر این، نتایج نشان می‌دهد که حالت تخلخل متقارن غیریکنواخت از دو نوع تخلخل دیگر برای لایه آسفالت مناسب‌تر است.

**واژگان کلیدی:** سیستم روسازی آسفالت، پاسخ دینامیکی، تخلخل، بار متحرک هارمونیک، تغییرات دمایی.

در ساخت پارکینگ‌ها، جاده‌ها و باندهای فرودگاهی در شهرهای مختلف استفاده شده و گزینه انتخابی بسیاری از مهندسان عمران بوده است. روسازی آسفالت عموماً از ماسه، سنگ (ریزدانه)، آسفالت مایع (نفت خام) و افروندی‌ها ساخته شده است. فاکتورهای متعددی مانند تغییرات دمایی [۱, ۲]، نرخ بارگذاری

## ۱. مقدمه

سیستم روسازی آسفالت به خاطر داشتن خواص فیزیکی مکانیکی چشمگیر از جمله کاهش آلودگی صوتی، تولید صدای پایین، قابلیت اطمینان، مقرن به صرفه بودن، پایداری و عمر بالا،

کرنش سطحی سیستم روسازی بتن آسفالت ویسکوالاستیک توسعه داده شد.

امروزه، شناسایی آثار قیود آب و هوایی همچون رطوبت نسبی، دمای هوای و سرعت باد بر رفتار دینامیکی سازه روسازی آسفالت به امری چالشی برای پژوهشگران مواد تبدیل شده است [13]. به عنوان نمونه، لیتائو و همکاران [14] تحلیلی دینامیکی را برای پیش‌بینی تنش‌های حرارتی در سیستم روسازی آسفالت ارائه نمودند. همچنین این پژوهشگران، خواص مکانیکی دینامیکی را در لایه‌های مخلوط آسفالت درنظر گرفتند. بر اساس مدل سازی المان محدود در آباکوس، فشار آب حفره‌ها و تنش حرارتی در سیستم روسازی آسفالت توسط سی و همکاران برای شرایط نفوذ آب باران مطالعه شد [2]. وانگ و همکاران [15] آسیب رطوبت ناشی از فشار دینامیک آب حفره‌ها را از طریف اعمال مدل‌های سه‌بعدی در مقیاس ماکرو بر سیستم آسفالت اثبات شده برسی کردند. ژو و لیو [16] آثار کوپلینگ تنش هیدرولیکی را بر رفتار مکانیکی روسازی آسفالت برای بارگذاری خودرویی متوجه بررسی نمودند و نشان دادند که بهبود هماهنگی روسازی آسفالت نسبت به فشار آب حفره منتقل شده، نقشی اساسی در بهبود عمر و بازدهی آن دارد. طبق یک شبیه‌سازی دینامیک مولکولی (MD)، حسین و همکاران [17] نشان دادند که مشخصه‌های مکانیکی مانند فشار تایر و پارامترهای محیطی همچون رطوبت و دما، آثار مهمی بر هیدروکربن‌های آروماتیک چندحلقه‌ای آزادشده از سیستم روسازی آسفالت دارند.

راهکارهای توسعه شهری، تأثیر شدیدی از فاکتورهای مختلف می‌گیرند که در میان آن‌ها، سیستم‌های روسازی که از آسفالت متخلخل بهره می‌برند جایگاهی مهمی دارند. دلیل این امر آن است که آسفالت متخلخل، هماهنگی بهتری با محیط زیست داشته و مزایای متعددی را ارائه می‌دهد. تجدید سفره‌های آب زیرزمینی، کنترل جریان آب و کاهش جریاب آب از این جمله هستند. دینگ و وانگ [18] به کمک یک مدل سازی کوپل شده FEM-BEM نویز تایر را بر سطوح غیرمتخلخل و متخلخل مقایسه کردند تا درک بهتری از مزایای روسازی متخلخل داشته باشند. آن‌ها نشان دادند که برای بافت‌های سطحی

[3]، مودهای بارگذاری [4]، و آسیب‌پذیری در برابر رطوبت [5,6] قادر به اثرگذاری روی پاسخ دینامیکی آسفالت هستند. رفتار دینامیکی سیستم روسازی آسفالت ایزوتروپیک عرضی چند لایه تحت بارگذاری ضربه‌ای، به صورت تحلیلی توسط یو و همکاران [7] و با استفاده از روش المان طیفی بررسی شد. نویسنده‌گان نشان دادند که تغییر شکل پیش‌بینی شده برای راه حل‌های ایزوتروپیک عرضی به ویژه در نزدیکی بارگذاری ضربه‌ای از پاسخ‌های ایزوتروپیک متفاوت هستند.

همانگونه که پیشتر ذکر شد، بار متوجه، یکی از پارامترهای مهمی است که مهندسان عمران برای طراحی روسازی آسفالت استفاده نموده‌اند. تا قبل از این، چندین پژوهه تجربی و عددی، تأثیر بار متوجه متوجه مرکز یا گستردگی را بر پاسخ دینامیکی روسازی آسفالت بررسی کرده‌اند. به عنوان نمونه، عامری و همکاران [8] یک شبیه‌سازی عددی را برای تحلیل تأثیر شرایط مختلف بارگذاری ترافیکی بر ضریب مرکز تنش روسازی آسفالت که شامل ترک عرضی است، توسعه دادند. یک مدل سه بعدی با ABAQUS استفاده از نرم‌افزار تجزیه و تحلیل اجزای محدود توسط وو و همکاران ارائه شد [9] تا پاسخ دینامیکی سیستم روسازی بتی را با یک لایه جدا کننده آسفالت که تحت بارهای متوجه قرار دارد را مطالعه کنند. وانگ و لی [10] با استفاده از مدل المان محدود (FE) اثر بارگذاری متوجه ناشی از وسایل نقلیه و بارگذاری دینامیکی ضربه‌ای را بر رفتار دینامیکی روسازی آسفالت تحلیل و مقایسه کردند. نتایج ارائه شده ثابت کرد که مدت زمان پالس‌های تنش‌های فشاری در لایه آسفالت روسازی به طور محسوسی تحت تأثیر عمق و روسازی و سرعت بار قرار دارند. برای پیش‌بینی تأثیر روند بازیابی بر عمق ناهمواری و خسارت وارد شده هنگام حرکت دوره‌ای بر روسازی آسفالت، اقبال‌پور و همکاران [11] از روش تکرار نیوتون-رفسون برای بررسی آسیب‌ها، تغییر شکل دائمی و عوامل بازیابی استفاده کردند. نتایج آنها نشان می‌دهد که این بازیابی بر ظرفیت تحمل بار و طول عمر روسازی آسفالت تأثیر می‌گذارد و باعث کاهش سرعت رشد آسیب‌ها می‌شود. یک مدل شبیه‌سازی عددی توسط لیو و ژانگ [12] برای تجزیه و تحلیل انواع مختلف زبری روسازی و سرعت خودروها بر جابه‌جایی و

### ۳. مطالعات تحلیلی

#### ۱-۳. روابط ساختاری سازه

فرض شده است که لایه‌های سیستم روپوش آسفالتی از ترکیب قیر و سنگدانه‌های با اندازه مختلف تشکیل شده است. سیستم روپوش فرض شده است که از چهار لایه مستطیلی با ابعاد  $(a \times b)$  تشکیل شده باشد که مشخصات هر لایه عبارت است از:

۱- لایه آسفالت ویسکوالاستیک با مشخصات مکانیکی و هندسی (ضخامت  $h_1$ , مدول الاستیسیته  $E_1$ , نسبت پوپوسون  $\vartheta_1$ , و چگالی جرمی  $\rho_1$ ), (۲) base layer با مشخصات مکانیکی و هندسی (ضخامت  $h_2$ , مدول الاستیسیته  $E_2$ , نسبت پوپوسون  $\vartheta_2$ , و چگالی جرمی  $\rho_2$ ), (۳) sub-base layer با مشخصات مکانیکی و هندسی (ضخامت  $h_3$  مدول الاستیسیته  $E_3$ , نسبت پوپوسون  $\vartheta_3$  و چگالی جرمی  $\rho_3$ ), (۴) grade or soil layer (ضخامت  $h_4$ , مدول الاستیسیته  $E_4$ , نسبت پوپوسون  $\vartheta_4$ , و چگالی جرمی  $\rho_4$ ). همچنین یک بار ترافیکی هارمونیک با سرعت خاص و فرکانس تحریک روی لایه آسفالتی متخلخل در جهت طول فرض شده است که در حرکت است (شکل ۱).

شکل ۱: نمای سیستم روپوش با لایه آسفالتی متخلخل تحت بار متتحرک هارمونیک

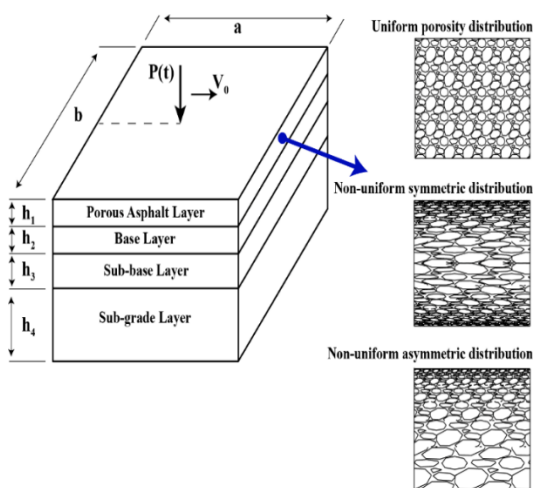


Figure 1: Porous asphalt pavement system under the moving load harmonic load.

مشابه، نویز کلی با افزایش تخلخل کاهش می‌یابد. ما و همکاران [19] اثر ناخالصی را بر نفوذپذیری روپوش آسفالت متخلخل تحلیل نمودند. وانگ و همکاران [20] از نتایج عددی المان محدود به همراه نتایج تجربی برای نشان دادن پایداری سطح جاده پروالاستیک در جاده‌های شهری و مناطق سرد بهره بردن و عملکرد تابعی و مکانیکی را در نظر گرفتند. پاسخ سازه‌ای سطوح پروالاستیک جاده‌ها تحت حرکت غلتشی تایر کامیون‌ها توسط سریرانگام و همکاران [21] به صورت عددی مطالعه شد و جنبه‌هایی همچون شرایط بارگذاری، فشار هوای لاستیک، و سرعت‌های گوناگون بررسی شد. در سالیان اخیر استفاده از نرم افزارهای تصمیم‌گیری و یا شبیه‌ساز در تمامی علوم مهندسی از جمله در حوزه راه و ترابری و حمل و نقل مورد توجه پژوهشگران بسیاری قرار گرفته است [22-25].

### ۲. اهداف پژوهش

بررسی پیشینه پژوهش که در قسمت قبل ارائه شد، نشان داد که تاکنون گزارش‌هایی در مورد بررسی پاسخ دینامیکی سیستم‌های روپوش تحت بار متتحرک ارائه شده است، ولی آثار تغییرات دمایی و لایه آسفالت متخلخل به صورت عددی و تحلیلی بر رفتار دینامیکی سیستم روپوش چندلایه تحت حرکت بار ترافیکی هارمونیکی با فرکانس تحریک مورد بررسی قرار نگرفته است. بنابراین هدف اصلی این مقاله، پر کردن این خلا است. با استفاده از نظریه کلاسیک ورق‌ها، سیستم روپوش مانند ساندویچ ورق چند لایه مدل‌سازی شده است. فرض شده است که خواص مکانیکی لایه آسفالتی ویسکوالاستیک متخلخل در جهت ضخامت متغیر باشد. سه مدل توزیع تخلخل یکنواخت، تخلخل متقارن غیر یکنواخت و تخلخل نامتقارن غیریکنواخت برای لایه آسفالت متخلخل در نظر گرفته شده است. برای بدست اوردن پاسخ دینامیکی در بازه زمانی، از بسطهای سری فوریه و تبدیل لاپلاس استفاده شده است.

$$\begin{aligned} E_1(z) &= E_1[1 - e_0\chi] \\ G_1(z) &= G_1[1 - e_0\chi] \\ \rho_1(z) &= \rho_1\sqrt{1 - e_0\chi} \end{aligned} \quad (4)$$

و  $e_0$  نسبت تخلخل است که از تقسیم حجم حفرات به حجم کلی ماده بدست می‌اید، پارامتر  $\chi$  بر حسب نسبت تخلخل به صورت زیر بیان می‌شود:

$$\chi = \frac{1}{e_0} - \frac{2}{e_0}\left(\frac{2}{\pi}\sqrt{1 - e_0} - \frac{2}{\pi} + 1\right)^2 \quad (5)$$

مدل توزیع تخلخل غیریکنواخت متقارن (Type B): در این مدل، خواص مکانیکی از بیشترین مقدار خود در سطوح بالا و پایین لایه اسفالت شروع می‌شوند و در وسط لایه به کمترین مقدار خود می‌رسند، که به صورت زیر بیان می‌شود:

$$\begin{aligned} E_1(z) &= E_1\left[1 - e_0 \cos\left(\frac{\pi z}{h}\right)\right] \\ G_1(z) &= G_1\left[1 - e_0 \cos\left(\frac{\pi z}{h}\right)\right], \\ \rho_1(z) &= \rho_1\left[1 - e_m \cos\left(\frac{\pi z}{h}\right)\right] \\ e_m &= 1 - \sqrt{1 - e_0} \end{aligned} \quad (6)$$

مدل توزیع تخلخل غیریکنواخت نامتقارن (Type C): در این مدل، خواص مکانیکی مانند چگالی و مدول الاستیسیته از بیشترین مقدار خود در سطح بالا شروع می‌شود و به کمترین مقدار خود در سطح پایین می‌رسند، که به صورت زیر بیان می‌شود:

$$\begin{aligned} E_1(z) &= E_1\left[1 - e_0 \cos\left(\frac{\pi z}{2h} + \frac{\pi}{4}\right)\right] \\ G_1(z) &= G_1\left[1 - e_0 \cos\left(\frac{\pi z}{2h} + \frac{\pi}{4}\right)\right] \\ \rho_1(z) &= \rho_1\left[1 - e_m \cos\left(\frac{\pi z}{2h} + \frac{\pi}{4}\right)\right] \end{aligned} \quad (7)$$

روابط تنشن-کرنش برای سه لایه دیگر در سیستم روسازی به صورت زیر بیان می‌شود:

$$\begin{aligned} \begin{bmatrix} \sigma_{xx} \\ \sigma_{yy} \\ \sigma_{xy} \end{bmatrix}^{(i)} &= \\ &= \begin{bmatrix} \frac{E_i}{1 - \vartheta_i^2} - \frac{\vartheta_i E_i}{1 - \vartheta_i^2} & 0 \\ \frac{\vartheta_i E_i}{1 - \vartheta_i^2} & \frac{E_i}{1 - \vartheta_i^2} - \frac{\vartheta_i E_i}{1 - \vartheta_i^2} \\ 0 & 0 \end{bmatrix} \begin{bmatrix} \varepsilon_{xx} \\ \varepsilon_{yy} \\ \gamma_{xy} \end{bmatrix}, \quad (8) \\ i &= 2,3,4 \end{aligned}$$

برای بدست اوردن معادلات دینامیکی حاکم بر مسیر حرکت برای سیستم روسازی، میدان جابه‌جایی ( $U, V, W$ ) را براساس نظریه کلاسیک ورق‌ها در مختصات کارتزین استفاده می‌شود:

$$\begin{aligned} U(x, y, z, t) &= -z \frac{\partial w(x, y, t)}{\partial x} \\ V(x, y, z, t) &= -z \frac{\partial w(x, y, t)}{\partial y} \\ W(x, y, z, t) &= w(x, y, t) \end{aligned} \quad (1)$$

در حالی که  $w$  جابه‌جایی عرضی سیستم است. بافرض اینکه روابط کرنش-جانبه‌جایی خطی است، ترم‌های کرنش نرمال و برشی بر حسب میدان جابه‌جایی به صورت زیر بیان می‌شوند:

$$\begin{aligned} \varepsilon_x &= -z \frac{\partial^2 w}{\partial x^2}, \\ \varepsilon_y &= -z \frac{\partial^2 w}{\partial y^2}, \\ \gamma_{xy} &= -2z \frac{\partial^2 w}{\partial x \partial y} \end{aligned} \quad (2)$$

و  $\varepsilon_x$  و  $\varepsilon_y$  به ترتیب، کرنش‌های نرمال در جهات  $x$  و  $y$  هستند و  $\gamma_{xy}$  کرنش برشی است. روابط تنشن-کرنش برای لایه آسفالتی ویسکوالاستیک که متخلف فرض شده است، با درنظر گرفتن حالت تنشن صفحه‌ای تحت شرایط دمایی به صورت زیر بیان می‌شود:

$$\begin{bmatrix} \sigma_{xx} \\ \sigma_{yy} \\ \sigma_{xy} \end{bmatrix}^{(1)} = \begin{bmatrix} \frac{E_1(z)\left(1 + \eta \frac{\partial}{\partial t}\right)}{1 - \vartheta_1^2} - \frac{\vartheta_1 E_1(z)\left(1 + \eta \frac{\partial}{\partial t}\right)}{1 - \vartheta_1^2} & 0 & 0 \\ \frac{\vartheta_1 E_1(z)\left(1 + \eta \frac{\partial}{\partial t}\right)}{1 - \vartheta_1^2} & \frac{E_1(z)\left(1 + \eta \frac{\partial}{\partial t}\right)}{1 - \vartheta_1^2} & 0 \\ 0 & 0 & G_1(z)\left(1 + \eta \frac{\partial}{\partial t}\right) \end{bmatrix} \begin{bmatrix} \varepsilon_{xx} - \bar{\alpha} \Delta T \\ \varepsilon_{yy} - \bar{\alpha} \Delta T \\ \gamma_{xy} \end{bmatrix} \quad (3)$$

در حالی که  $\eta$  ضریب میرایی،  $G_1(z)$  مدول برشی لایه آسفالت متخلف،  $\bar{\alpha}$  ضریب انبساط حرارتی هستند، و  $\Delta T$  تغییرات دمایی محیط هستند. همانگونه که پیشتر بیان شد، سه مدل مختلف برای توزیع تخلخل درنظر گرفته شده است که به صورت زیر بیان می‌شوند.

• مدل توزیع تخلخل یکنواخت (Type A): براساس این مدل خواص مکانیکی در جهت ضخامت به صورت یکنواخت متغیر هستند و به صورت زیر بیان می‌شوند [26]:

در پایان ترم کار خارجی ناشی از تغییرات دمای محیط و بار هارمونیکی متحرک بر لایه آسفالت متخلخل به صورت زیر بیان می‌شود:

$$\bar{W} = \int_A \left\{ q_1 w + q_2 \left[ \left( \frac{\partial w}{\partial x} \right)^2 + \left( \frac{\partial w}{\partial y} \right)^2 \right] \right\} dA \quad (13)$$

و ترم‌های  $q_1$  و  $q_2$  به صورت زیر بیان می‌شوند [27,28]:

$$q_1 = P_0 \sin(\Omega t) \delta(x - V_0 t) \delta(y - \frac{b}{2}), \quad (14)$$

$$q_2 = \int_{-\frac{h_1}{2}}^{\frac{h_1}{2}} E_1(z) \bar{\alpha} \Delta T dz$$

در حالی که  $P_0$  دامنه اولیه بار متحرک و  $\Omega$  فرکانس تحریک بار متحرک هارمونیکی هستند. همچنین  $\delta$  بیانگر تابع دلتای دیراک است. توجه شود که در اینجا، بار متحرک با سرعت  $V_0$  در جهت طولی روی لایه آسفالت ویسکوالاستیک متخلخل در حال حرکت است. با استفاده از ترم‌های انرژی جنبشی (رابطه ۱۰)، انرژی کرنش (رابطه ۱۲)، و کار خارجی (رابطه ۱۳) در اصل همیلتون و استفاده از انتگرال‌گیری جز به جز، معادله دینامیکی حاکم بر مسیر حرکت برای سیستم روسازی آسفالت تحت بار متحرک، با درنظر گرفتن تغییرات دمایی به صورت زیر بدست می‌آید:

$$\frac{\partial^2 M_{xx}}{\partial x^2} + 2 \frac{\partial^2 M_{xy}}{\partial x \partial y} + \frac{\partial^2 M_{yy}}{\partial y^2} + q_2 \left( \frac{\partial^2 w}{\partial x^2} + \frac{\partial^2 w}{\partial y^2} \right) = q_1 + I_0 \frac{\partial^2 w}{\partial t^2} + I_1 \left( \frac{\partial^4 w}{\partial x^2 \partial t^2} + \frac{\partial^4 w}{\partial y^2 \partial t^2} \right) \quad (15)$$

و نتیجه تنش  $M_{ij}$  به صورت زیر بیان می‌شود:

$$M_{xx} = \int_{-\frac{h_{t0}}{2}}^{h_{t1}} \sigma_{xx}^{(4)} z dz + \int_{h_{t1}}^{h_{t2}} \sigma_{xx}^{(3)} z dz + \int_{h_{t2}}^{h_{t3}} \sigma_{xx}^{(2)} z dz + \int_{h_{t3}}^{\frac{h_{t0}}{2}} \sigma_{xx}^{(1)} z dz, \quad (16)$$

$$M_{yy} = \int_{-\frac{h_{t0}}{2}}^{h_{t1}} \sigma_{yy}^{(4)} z dz + \int_{h_{t1}}^{h_{t2}} \sigma_{yy}^{(3)} z dz + \int_{h_{t2}}^{h_{t3}} \sigma_{yy}^{(2)} z dz + \int_{h_{t3}}^{\frac{h_{t0}}{2}} \sigma_{yy}^{(1)} z dz,$$

$$M_{xy} = \int_{-\frac{h_{t0}}{2}}^{h_{t1}} \sigma_{xy}^{(4)} z dz + \int_{h_{t1}}^{h_{t2}} \sigma_{xy}^{(3)} z dz + \int_{h_{t2}}^{h_{t3}} \sigma_{xy}^{(2)} z dz + \int_{h_{t3}}^{\frac{h_{t0}}{2}} \sigma_{xy}^{(1)} z dz,$$

سرانجام با استفاده از روابط ۳ و ۸ در رابطه ۱۶ و استفاده در رابطه ۱۵، فرم نهایی معادله دینامیکی بر حسب جابه‌جایی عرضی

به صورت زیر بازنویسی می‌شود:

برای بدست آوردن معادلات دینامیکی حاکم بر مسیر حرکت برای سیستم روسازی با لایه آسفالت ویسکوالاستیک متخلخل، از اصل همیلتون در فرم زیر استفاده می‌شود:

$$\delta \pi = 0, \pi = \int_{t_0}^t (\bar{K} - \bar{V} + \bar{W}) dt \quad (9)$$

در حالی که  $\bar{V}$  بیانگر انرژی کرنش،  $\bar{W}$  کار خارجی ناشی از تغییرات دمایی و بار هارمونیکی متحرک، و  $\bar{K}$  انرژی جنبشی سیستم است. قابل توجه است که براساس اصل همیلتون اگر زمان متوقف شود و به سیستم یک تغییر کوچک داده شود سیستم در حالت قبلی خود می‌ماند. بنابراین تغییرات در رابطه اصل همیلتون برابر صفر می‌شود. با استفاده از رابطه ۱، انرژی جنبشی برای سیستم روسازی با لایه آسفالت متخلخل به صورت زیر بیان می‌شود:

$$\bar{K} = \sum_{i=1}^4 \iiint_V \frac{1}{2} \rho_i (\dot{U}^2 + \dot{V}^2 + \dot{W}^2) dv = \frac{1}{2} \int_A \left\{ I_0 \dot{W}^2 + I_1 \left[ \left( \frac{\partial \dot{w}}{\partial x} \right)^2 + \left( \frac{\partial \dot{w}}{\partial y} \right)^2 \right] \right\} dA \quad (10)$$

در حالیکه  $V$  و  $A$  به ترتیب، حجم و مساحت سطح مقطع هستند. همچنین پارامترهای ممان اینرسی  $I_0$  و  $I_1$  به صورت زیر بیان می‌شوند:

$$I_0 = \int_{-\frac{h_{t0}}{2}}^{h_{t1}} \rho_4 dz + \int_{h_{t1}}^{h_{t2}} \rho_3 dz + \int_{h_{t2}}^{h_{t3}} \rho_2 dz + \int_{h_{t3}}^{\frac{h_{t0}}{2}} \rho_1(z) dz, \quad (11)$$

$$I_1 = \int_{-\frac{h_{t0}}{2}}^{h_{t1}} \rho_4 z^2 dz + \int_{h_{t1}}^{h_{t2}} \rho_3 z^2 dz + \int_{h_{t2}}^{h_{t3}} \rho_2 z^2 dz + \int_{h_{t3}}^{\frac{h_{t0}}{2}} \rho_1(z) z^2 dz,$$

$$h_{t0} = h_1 + h_2 + h_3 + h_4, \quad h_{t1} = -\frac{h_{t0}}{2} + h_4, \quad h_{t2} = h_{t1} + h_3, \quad h_{t3} = h_{t2} + h_2$$

انرژی کرنش سیستم روسازی با لایه آسفالت متخلخل با استفاده از روابط ۳ و ۸ به صورت زیر بیان می‌شود:

$$\bar{V} = \sum_{i=1}^4 \iiint_V \frac{1}{2} \left( \sigma_{xx}^{(i)} \varepsilon_{xx} + \sigma_{yy}^{(i)} \varepsilon_{yy} + \sigma_{xy}^{(i)} \gamma_{xy} \right) dV \quad (12)$$

$$M\ddot{Q} + C\dot{Q} + KQ = F \quad (21)$$

در حالی که :

$$\begin{aligned} M &= I_0 + I_1 \left[ \left( \frac{m\pi}{a} \right)^2 + \left( \frac{n\pi}{b} \right)^2 \right], \\ K &= D_{11} \left[ \left( \frac{m\pi}{a} \right)^4 + \left( \frac{n\pi}{b} \right)^4 \right] + 2(D_{12} + \\ &2D_{66}) \left( \frac{m\pi}{a} \right)^2 \left( \frac{n\pi}{b} \right)^2 - q_2 \left[ \left( \frac{m\pi}{a} \right)^2 + \right. \\ &\left. \left( \frac{n\pi}{b} \right)^2 \right], \end{aligned} \quad (22)$$

$$C = \eta \left\{ D_{11} \left[ \left( \frac{m\pi}{a} \right)^4 + \left( \frac{n\pi}{b} \right)^4 \right] + 2(D_{12} + \right.$$

$$2D_{66}) \left( \frac{m\pi}{a} \right)^2 \left( \frac{n\pi}{b} \right)^2 \},$$

$$F = \frac{4P_0}{ab} \sin \left( \frac{m\pi}{a} V_0 t \right) \sin \left( \frac{n\pi}{b} \right)$$

با استفاده از تبدیل لاپلاس بر معادله ۲۱ و درنظر گرفتن شرایط اولیه صفر، معادله جبری زیر حاصل می‌شود:

$$(Ms^2 + Cs + K)Q(s) = F(s) \quad (23)$$

سرانجام با حل معادله ۲۳ و استفاده از تبدیل معکوس لاپلاس، پاسخ دینامیکی سیستم روسازی با لایه آسفالت در بازه زمانی بدست می‌اید. در اینجا، پاسخ دینامیکی بدون بعد بر حسب جابه‌جایی استاتیکی به صورت  $\frac{w}{w_{st}}$  بررسی می‌شود.

و  $w_{st} = 0.1265 \frac{p_0 b^2}{E h^3}$  جابه‌جایی استاتیکی است [29].  
به منظور ارزیابی بهتر اثر بار متوجه هارمونیکی بر پاسخ دینامیکی سیستم روسازی با لایه آسفالت، پارامتر سرعت بدون بعد را بر حسب سرعت بحرانی به صورت  $\alpha_v = \frac{V_0}{V_{cr}}$  تعریف می‌شود. سرعت بحرانی بار متوجه  $V_{cr} = \frac{\omega_{11} a}{\pi}$  سرعت بحرانی بار متوجه است که بر حسب فرکانس طبیعی اول  $\omega_{11}$  سیستم روسازی بیان می‌شود.  
همچنین آثار فرکانس تحريك بار متوجه هارمونیکی به صورت  $\beta = \frac{\Omega}{\omega_{11}}$  تعریف می‌شود.

#### ۴. نتایج و بحث ها

در این بخش در ابتدا درستی روابط استخراج شده براساس مدل تحلیلی با نتایج مقالات گذشته و نرم افزار شبیه‌سازی کامسول نشان داده می‌شود. سپس آثار پارامترهای مختلف مانند نسبت تخلخل، تغیرات دما، و پارامترهای سرعت و فرکانس تحريك بار ترافیکی متوجه هارمونیکی بر پاسخ دینامیکی سیستم

$$D_{11} \left( \frac{\partial^4 w}{\partial x^4} + \frac{\partial^4 w}{\partial y^4} \right) + 2(D_{12} + \quad (21)$$

$$2D_{66}) \frac{\partial^4 w}{\partial x^2 \partial y^2} + q_2 \left( \frac{\partial^2 w}{\partial x^2} + \frac{\partial^2 w}{\partial y^2} \right) = q_1 + \quad (17)$$

$$I_0 \frac{\partial^2 w}{\partial t^2} + I_1 \left( \frac{\partial^4 w}{\partial x^2 \partial t^2} + \frac{\partial^4 w}{\partial y^2 \partial t^2} \right)$$

: و :

$$D_{11} = \int_{-\frac{h_{t0}}{2}}^{h_{t1}} E_4 z^2 dz + \int_{h_{t1}}^{h_{t2}} E_3 z^2 dz +$$

$$\int_{h_{t2}}^{h_{t3}} E_2 z^2 dz + \int_{h_{t3}}^{\frac{h_{t0}}{2}} E_1(z) \left( 1 + \eta \frac{\partial}{\partial t} \right) z^2 dz,$$

$$D_{12} = \int_{-\frac{h_{t0}}{2}}^{h_{t1}} E_4 \vartheta_4 z^2 dz +$$

$$\int_{h_{t1}}^{h_{t2}} E_3 \vartheta_3 z^2 dz + \int_{h_{t2}}^{h_{t3}} E_2 \vartheta_2 z^2 dz +$$

$$\int_{h_{t3}}^{\frac{h_{t0}}{2}} E_1(z) \left( 1 + \eta \frac{\partial}{\partial t} \right) \vartheta_1 z^2 dz,$$

$$D_{66} = \int_{-\frac{h_{t0}}{2}}^{h_{t1}} G_4 z^2 dz + \int_{h_{t1}}^{h_{t2}} G_3 z^2 dz +$$

$$\int_{h_{t2}}^{h_{t3}} G_2 z^2 dz + \int_{h_{t3}}^{\frac{h_{t0}}{2}} G_1(z) \left( 1 + \eta \frac{\partial}{\partial t} \right) z^2 dz$$

#### ۲-۳. روش حل

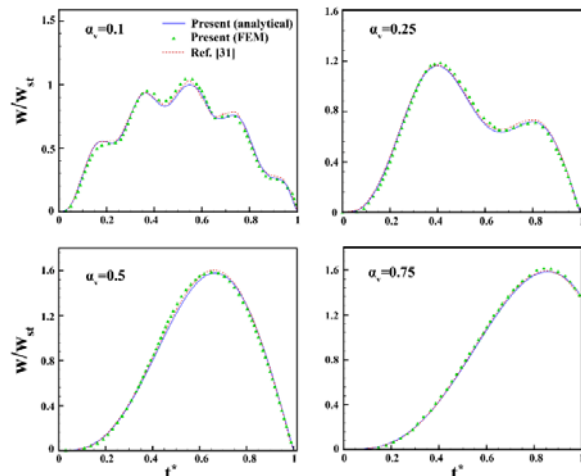
برای حل تحلیلی معادله دینامیکی (۱۷)، فرض شده است که شرایط مرزی در چهار طرف سیستم روسازی به صورت تکیه‌گاه ساده باشد. بنابراین جابه‌جایی و گشتاور در چهار لبه به صورت زیر بیان می‌شود:

$$\begin{aligned} w(0, y, t) &= w(a, y, t) = w(x, 0, t) = \\ w(x, b, t) &= 0, \\ M_{xx}(0, y, t) &= M_{xx}(a, y, t) = \\ M_{yy}(x, 0, t) &= M_{yy}(x, b, t) = 0 \end{aligned} \quad (19)$$

با استفاده از بسط سری فوریه که شرایط مرزی ۱۹ را ارضاء می‌کند، میدان جابه‌جایی عرضی به صورت زیر (۲۰) بیان می‌شود:

$$w = \sum_{m=1}^{\infty} \sum_{n=1}^{\infty} Q(t) \sin \left( \frac{m\pi x}{a} \right) \sin \left( \frac{n\pi y}{b} \right), \quad Q(t) = \bar{Q} e^{i\omega t} \quad (20)$$

$\bar{Q}$  ضریب مودال است،  $m$  و  $n$  به ترتیب شماره مود در جهت  $x$  و  $y$  هستند. با جایگذاری رابطه ۲۰ در رابطه ۱۷ معادله دیفرانسیلی جزیی (رابطه ۱۷) به معادله دیفرانسیلی معمولی زیر تبدیل می‌شود:



**Figure 2:** A comparative study of the dynamic deflection of elastic plate for various values of velocity parameter.

در اعتبار سنجی دیگر، با حذف بار هارمونیکی، خاصیت ویسکوالاستیک و تغییرات دما، سه فرکانس طبیعی بدون بعد اول متخلخل تحت سه مدل متخلخل یکنواخت، غیریکنواخت متقارن، و غیریکنواخت نامتقارن به صورت تحلیلی و عددی با نرم‌افزار کامسول بدست امده و در شکل (۳) با نتایج انتشار یافته در مرجع [32] برحسب نسبت متخلخل مقایسه شده است. همانطور که از این شکل مشاهده می‌شود، نتایج از دقت قابل قبولی برخوردار هستند. به علاوه مشاهده می‌شود که فرکانس طبیعی‌ها با افزایش نسبت متخلخل کاهش پیدا می‌کنند. همچنین فرکانس محاسبه شده بر حسب مدل غیریکنواخت متقارن دارای بیشترین مقدار و برحسب مدل توزیع متخلخل یکنواخت دارای کمترین مقدار هستند.

نهایتاً با درنظر نگرفتن بار هارمونیکی متحرک، ضریب میرایی و متخلخل، چهار فرکانس طبیعی بدون بعد اول برای یک ورق الاستیکی مربعی به صورت تحلیلی بدست امده و بر حسب تغییرات دما در شکل (۴) با نتایج مرجع [33] مقایسه شده است. همان‌گونه که از این شکل مشخص است دقت حل تحلیلی بسیار بالا است. همچنین این شکل نشان می‌دهد که با افزایش تغییرات دما، فرکانس طبیعی‌های سیستم کاهش پیدا می‌کند.

روسازی با لایه آسفالت متخلخل ارائه می‌شود. بهره‌حال مشخصات هندسی و فیزیکی استفاده شده در سیستم روسازی برای کلیه نتایج، به جز اعتبارسنجی‌ها، در جدول (۱) گزارش شده است [30]. نرم‌افزار کامسول ابزاری قدرتمند برای شبیه‌سازی بسیاری از پدیده‌های فیزیکی و شیمیابی است که بر پایه روش حل عددی المان محدود (Finite Element Method)، قابلیت حل معادلات دیفرانسیل را دارد و کاربران می‌توانند با استفاده از ماثولوی‌های موجود در این نرم‌افزار، بسیاری از فرآیندهای موجود در طبیعت را شبیه‌سازی کنند؛

**جدول ۱:** مشخصات فیزیکی و هندسی سیستم روسازی آسفالت.

Layer	Modulus of elasticity (ksi)	Poisson's ratio	Mass density (pcf)	Thickness (cm)
Surface	200	0.3	150	14
Base	50	0.35	140	20
Subbase	15	0.35	130	25
Subgrade	10	0.35	130	200

**Table 1:** The characteristics of the considered asphalt pavement system.

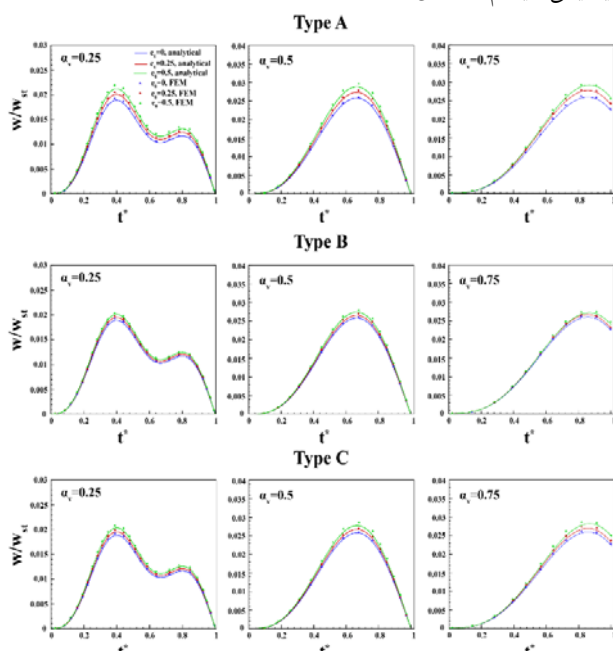
#### ۴-۱. اعتبار سنجی

در اعتبارسنجی اول، با حذف لایه‌های سیستم روسازی و حذف خواص متخلخل و تغییرات دما، پاسخ دینامیکی بدون بعد یک ورق مربعی الاستیک برای چهار سرعت بدون بعد مختلف به صورت تحلیلی و عددی کامسول بدست امده و در شکل (۲) با نتایج مرجع [31] مقایسه شده است. همان‌گونه که این شکل مشخص است نتایج عددی و تحلیلی از دقت خوبی برخوردار هستند.

شکل ۲: مقایسه پاسخ دینامیکی بدون بعد ورق الاستیک بر حسب سرعت بدون بعد بار متحرک

متخلخل برای پارامتر سرعت بدون بعد با فرض کردن  $\beta = 0, \Delta T = 0, \eta = 0$  نشان داده شده است. به علاوه نتایج عددی المان محدود ناشی از شبیه سازی کامسول نیز در این شکل نشان داده شده است. نتایج ناشی از این شکل نشان می دهد که پاسخ دینامیکی سیستم رو سازی به صورت محسوسی تحت تاثیر پارامتر سرعت است. با دقت در شکل مشاهده می شود که با افزایش پارامتر نسبت تخلخل برای هر سه مدل توزیع تخلخل، پاسخ دینامیکی افزایش پیدا می کند. این امر ناشی از این است که با افزایش نسبت تخلخل لایه آسفالتی، سختی سیستم رو سازی کم شده و پاسخ دینامیکی سیستم افزایش می یابد. همچنین ازانجا که سختی کلی مدل توزیع غیریکنواخت متقارن بیشتر از دو مدل دیگر است بنابراین پاسخ دینامیکی سیستم رو سازی با درنظر گرفتن این مدل برای توزیع تخلخل لایه آسفالت کمتر تغییر می کند. در حالیکه بیشترین پاسخ دینامیکی سیستم رو سازی برای حالت توزیع یکنواخت تخلخل است.

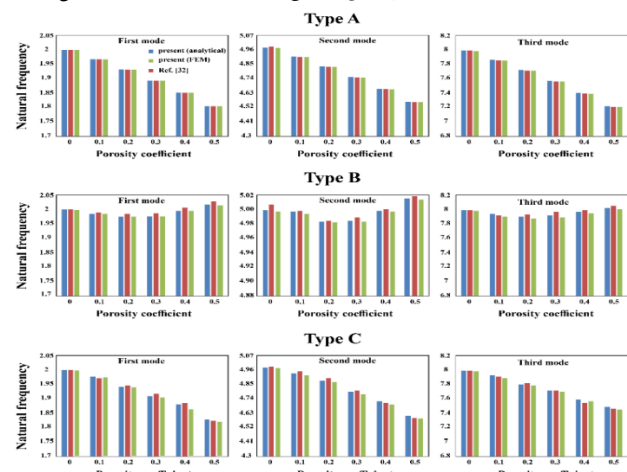
شکل ۵. آثار پارامتر نسبت تخلخل و سرعت بار متغیرات پاسخ دینامیکی سیستم رو سازی آسفالت.



شکل ۵: آثار پارامتر نسبت تخلخل و سرعت بار متغیرات پاسخ دینامیکی سیستم رو سازی آسفالت.

در شکل ۶، آثار تغییرات دما بر پاسخ دینامیکی سیستم رو سازی با لایه آسفالتی متخلخل بر حسب پارامترهای مختلف

شکل ۳: مقایسه فرکانس طبیعی های بدون بعد ورق متخلخل.

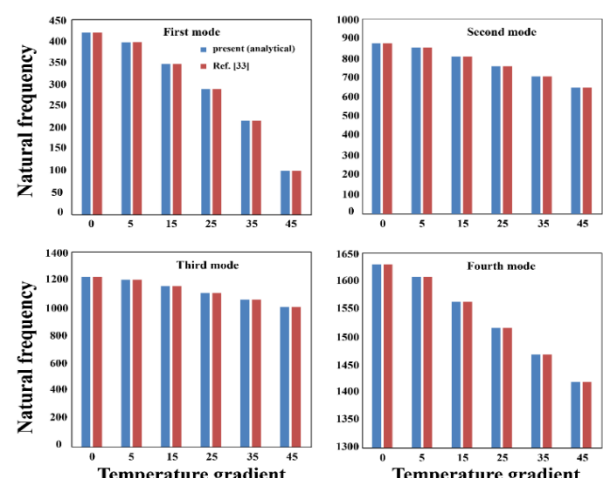


شکل ۳: A comparative study of the dimensionless natural frequencies of porous plate.

## ۵- نتایج

بعد از نشان دادن درستی روابط استخراج شده و روش حل، به بررسی آثار پارامترهای مختلف مانند نسبت تخلخل، ضربه مباری، تغیرات دما، و پارامترهای سرعت و فرکانس تحریک بار ترافیکی متخلخل هارمونیکی بر پاسخ دینامیکی سیستم رو سازی با لایه آسفالت متخلخل پرداخته می شود.

شکل ۴: مقایسه فرکانس طبیعی های بدون بعد ورق الاستیک تحت شرایط دمایی



شکل ۴: A comparative study of the natural frequencies of elastic plate under different temperature variations.

در شکل (۵)، آثار نسبت تخلخل و سه مدل توزیع تخلخل بر رفتار پاسخ دینامیکی بدون بعد سیستم رو سازی با لایه آسفالت

حسب سرعت بدون بعد مختلف با فرض  $\Delta T = 0$  نشان داده شده است. نتایج نشان می‌دهد که با افزایش پارامتر فرکانس تحریک، نوسانات پاسخ دینامیکی در بازه زمانی افزایش پیدا می‌کند. همچنین مشاهده می‌شود که هنگامی فرکانس تحریک بار هارمونیکی با فرکانس طبیعی سیستم روسازی برابر شود پاسخ دینامیکی سیستم به صورت محسوسی افزایش می‌یابد. همچنین مشاهده می‌شود که با درنظر گرفتن خاصیت ویسکوالاستیکی لایه آسفالتی، پاسخ دینامیکی کل سازه به صورت محسوسی کاهش یابد که ناشی از آثار میرایی بر پاسخ دینامیکی سیستم بوده است.

سرعت بار متحرک با فرض  $\beta = 0, e_0 = 0.2, \eta = 0$  برای سه مدل توزیع تخلخل بررسی شده است. بعلاوه نتایج عددی المان محدود ناشی از شبیه سازی کامسول نیز در این شکل نشان داده شده است. نتایج نشان می‌دهد که با افزایش دما، پاسخ دینامیکی سیستم روسازی افزایش پیدا می‌کند. این امر ناشی از این است که با افزایش دما، سختی سازه کم شده و پاسخ دینامیکی افزایش می‌یابد.

شکل ۷. آثار فرکانس تحریک بار ترافیکی هارمونیکی و میرایی لایه آسفالت بر پاسخ دینامیکی سیستم روسازی.

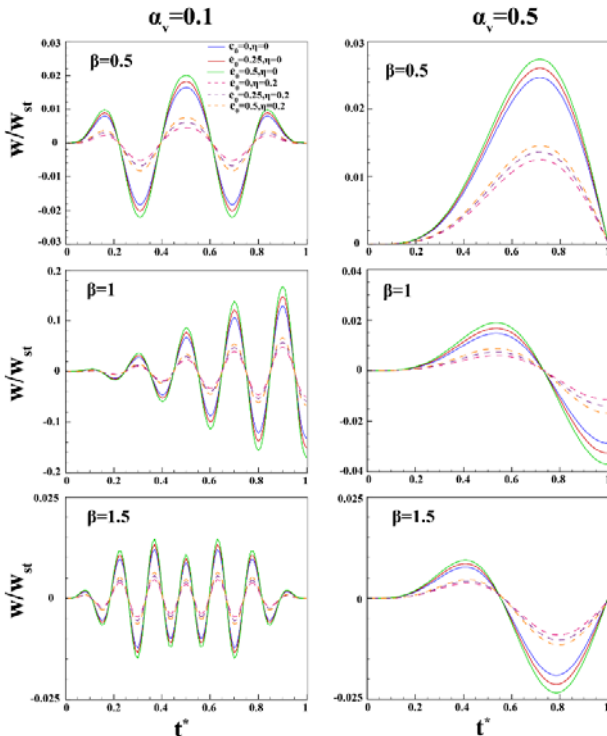


Figure 7: Effect of excitation frequency parameter on the dimensionless dynamic deflection of viscoelastic asphalt pavement system for different values of velocity parameter and porosity coefficient.

## ۶. نتیجه‌گیری

شکل ۶. آثار تغییرات دما و سرعت بار متحرک بر تغییرات پاسخ دینامیکی سیستم روسازی آسفالت

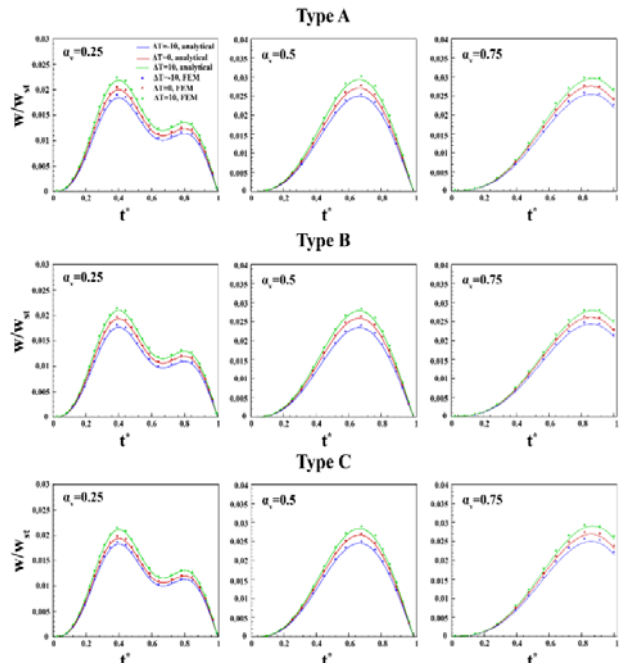


Figure 6: Effect of temperature variation on the dimensionless dynamic deflection of asphalt pavement system for different values of velocity parameter.

سرانجام در شکل (۷)، آثار پارامتر فرکانس تحریک بار متحرک هارمونیکی و ضریب میرایی لایه آسفالتی بر پاسخ دینامیکی بدون بعد سیستم روسازی با لایه آسفالت ویسکوالاستیک متخلخل برای مدل توزیع تخلخل یکنواخت بر

## ۷. مراجع

- [1] Haponiuk B, Zbiciak A. 2016 Mechanistic-empirical asphalt pavement design considering the effect of seasonal temperature variations. *Arch Civ Eng*, **62**.
- [2] Si C, Chen E, You Z, Zhang R, Qiao P, Feng Y. 2019 Dynamic response of temperature-seepage-stress coupling in asphalt pavement. *Constr Build Mater*, **211**, 824–36.
- [3] Roja KL, Padmarekha A, Krishnan JM. 2019 Influence of warm mix additive and loading rate on rutting of warm mix asphalt pavement. *Int J Pavement Eng*, **20**, 366–81.
- [4] Guan Z, Zhuang C, Zhang P. Asphalt Pavement 2019 Mechanical Response of Accelerated Pavement Testing in Single-Axle and Dual-Axle Loading Modes. *Adv Civ Eng*.
- [5] Kushwaha P, Swami BL. 2019 A Study on Moisture Susceptibility of Foamed Bitumen Mix Containing Reclaimed Asphalt Pavement. *Transp Infrastruct Geotechnol*, **6**, 89–104.
- [6] Ayazi MJ, Moniri A, Barghabany P. 2017 Moisture susceptibility of warm mixed-reclaimed asphalt pavement containing Sasobit and Zycotherm additives. *Pet Sci Technol*, **35**, 890–5.
- [7] You L, Yan K, Hu Y, Liu J, Ge D. 2018 Spectral element method for dynamic response of transversely isotropic asphalt pavement under impact load. *Road Mater Pavement Des* **19**, 223–38.
- [8] Ameri M, Mansourian A, Khavas MH, Aliha Mrm, Ayatollahi MR. 2011 Cracked asphalt pavement under traffic loading—A 3D finite element analysis. *Eng Fract Mech*, **78**, 1817–26.
- [9] Wu J, Liang J, Adhikari S. 2014 Dynamic response of concrete pavement structure with asphalt isolating layer under moving loads. *J Traffic Transp Eng*, **1**, 439–47.
- [10] Wang H, Li M. 2016 Comparative study of asphalt pavement responses under FWD and moving vehicular loading. *J Transp Eng*, **142**, 4016069.
- [11] Eghbalpoor R, Baghani M, Shahsavari H. 2019 An implicit finite element framework considering damage and healing effects with application to cyclic moving load on asphalt pavement. *Appl Math Model*, **70**, 139–51.
- [12] Liu X, Zhang X. 2019 Asphalt pavement dynamic response under different vehicular speeds and pavement roughness. *Road Mater Pavement Des*, 1–22.

در این پژوهش پاسخ دینامیکی سیستم رو سازی با در نظر گرفتن لایه آسفالتی متخلخل تحت بار ترافیکی هارمونیکی با سرعت‌های مختلف در محیط دمایی به صورت تحلیلی و عددی مورد ارزیابی قرار گرفت. برای مدلسازی تحلیلی سیستم از تئوری کلاسیک ورق‌ها استفاده شد. با در نظر گرفتن روابط متخلخل و کرنش حرارتی در ماتریس‌های تنش-کرنش و استفاده از اصل همیلتون معادلات دینامیکی به دست آمد. با کمک بسط‌های سری فوریه، با توجه به شرایط مرزی در نظر گرفته شده، معادلات دینامیکی جزئی به معادلات دینامیکی دیفرانسیلی معمولی تبدیل شد و با استفاده از تبدیل لاپلاس، پاسخ دینامیکی سیستم به دست آمد و بر حسب پارامترهای موثر مانند نسبت متخلخل، ضریب میرایی لایه آسفالت، نوع متخلخل، تغییرات دمای محیط و سرعت‌های مختلف بارگذاری مورد ارزیابی قرار گرفت. همچنین از نرم‌افزار شبیه‌سازی المان محدود برای اعتبار سنجی نتایج علاوه بر مقالات انتشار یافته استفاده شد. برخی از نتایج مهم بدست امده از این پژوهش به صورت زیر است:

- تغییرات دما سبب کاهش سختی سیستم رو سازی شده و سرانجام پاسخ دینامیکی سیستم رو سازی افزایش پیدا می‌کند.
- با افزایش نسبت متخلخل، پاسخ دینامیکی سیستم رو سازی برای هر سه مدل متخلخل افزایش پیدا می‌کند.
- هنگامی که فرکانس تحریک بار ترافیکی متحرک هارمونیکی برابر با فرکانس طبیعی سیستم رو سازی شده، پاسخ دینامیکی سیستم رو سازی با لایه آسفالت متخلخل به شدت افزایش پیدا کرد.
- به این دلیل که سختی کلی مدل توزیع غیریکنواخت مقارن بیشتر از دو مدل دیگر است بنابراین پاسخ دینامیکی سیستم رو سازی با درنظر گرفتن این مدل برای توزیع متخلخل لایه آسفالت کمتر تغییر می‌کند.
- مشاهده شد که با درنظر گرفتن خاصیت ویسکوالاستیک در لایه آسفالت، دامنه پاسخ دینامیکی سیستم رو سازی به صورت محسوسی کاهش پیدا می‌کند.

- Artificial neural networks approach to predicting rut depth of asphalt concrete by using of visco-elastic parameters. *Constr Build Mater*, **158**, 873–82.
- [24] Behbahani H, Ziari H, Kamboozia N. 2016 Evaluation of the visco-elasto-plastic behavior of glasphalt mixtures through generalized and classic Burger's models modification. *Constr Build Mater*, **118**, 36–42.
- [25] Arabani M, Kamboozia N. 2013 Simulating the visco-elasto plastic behavior of glasphalt mixtures by using of modified Burger's model. *Tech J Eng Appl Sci*, **3**, 678.
- [26] Thang PT, Nguyen-Thoi T, Lee D, Kang J, Lee J. 2018 Elastic buckling and free vibration analyses of porous-cellular plates with uniform and non-uniform porosity distributions. *Aerospace Sci Technol*, **79**, 278–87.
- [27] Şimşek M, Kocatürk T, Akbaş SD. 2012 Dynamic behavior of an axially functionally graded beam under action of a moving harmonic load. *Compos Struct*, **94**, 2358–64.
- [28] Hosseini M, Jamalpoor A. 2015 Analytical Solution for Thermomechanical Vibration of Double-Viscoelastic Nanoplate-Systems Made of Functionally Graded Materials. *J Therm Stress*, **38**, 1428–56.
- [29] Timoshenko SP, 1959 Woinowsky-Krieger S. Theory of plates and shells. McGraw-hill.
- [30] Beskou ND, Theodorakopoulos DD. 2011 Dynamic effects of moving loads on road pavements: a review. *Soil Dyn Earthq Eng*, **31**, 547–67.
- [31] Shahsavari D, Karami B, Janghorban M, Li L. 2017 Dynamic characteristics of viscoelastic nanoplates under moving load embedded within visco-Pasternak substrate and hygrothermal environment. *Mater Res Express*, **4**, 85013.
- [32] Xue Y, Jin G, Ma X, Chen H, Ye T, Chen M, et al. 2019 Free vibration analysis of porous plates with porosity distributions in the thickness and in-plane directions using isogeometric approach. *Int J Mech Sci*, **152**:346–62.
- [33] Geng Q, Li Y. 2012 Analysis of dynamic and acoustic radiation characters for a flat plate under thermal environments. *Int J Appl Mech*, **4**, 1250028.
- [13] Willway T, Baldachin L, Reeves S, Harding M, McHale M, Nunn M. 2008 The effects of climate change on highway pavements and how to minimise them: Technical report. *Eff Clim Chang Highw Pavements How to Minimise Them Tech Rep*, **1**, 1–111.
- [14] Geng L, Wang X, Xu Q. 2016 Thermal stress of asphalt pavement based on dynamic characteristics of asphalt mixtures. *Int J Pavement Res Technol*, **9**, 363–7.
- [15] Wang W, Wang L, Xiong H, Luo R. 2019 A review and perspective for research on moisture damage in asphalt pavement induced by dynamic pore water pressure. *Constr Build Mater*, **204**, 631–42.
- [16] Xue Q, Liu L. 2013 Hydraulic-stress coupling effects on dynamic behavior of asphalt pavement structure material. *Constr Build Mater*, **43**, 31–6.
- [17] Hossain MI, Yadavalli JPS, Pan J, Azam HM. 2019 Molecular-Dynamics Simulation Approach to Identifying PAH Release from Asphalt Concrete Pavements due to Mechanical and Environmental Factors. *J Transp Eng Part B Pavements*, **145**, 4019023.
- [18] Ding Y, Wang H. 2019 FEM-BEM analysis of tyre-pavement noise on porous asphalt surfaces with different textures. *Int J Pavement Eng*, **20**, 1090–7.
- [19] Ma Y, Chen X, Geng Y, Zhang X. 2020 Effect of Clogging on the Permeability of Porous Asphalt Pavement. *Adv Mater Sci*.
- [20] Wang D, Liu P, Leng Z, Leng C, Lu G, Buch M, et al. 2017 Suitability of PoroElastic Road Surface (PERS) for urban roads in cold regions: Mechanical and functional performance assessment. *J Clean Prod*, **165**, 1340–50.
- [21] Srirangam SK, Anupam K, Casey D, Liu X, Kasbergen C, Scarpas A. 2016 Evaluation of Structural Performance of Poroelastic Road Surfacing Pavement Subjected to Rolling-Truck Tire Loads. *Transp Res Rec*, **2591**:42–56.
- [22] Kamboozia N, Ameri M, Hosseinian SM. 2020 Statistical analysis and accident prediction models leading to pedestrian injuries and deaths on rural roads in Iran. *Int J Inj Contr Saf Promot*, 1–17.
- [23] Kamboozia N, Ziari H, Behbahani H. 2018

# Thermo-dynamic response of porous asphalt pavement system subjected to a moving harmonic load

Mohsen Rostamkhani<sup>1</sup>, Neda Kamboozia<sup>\*2</sup>, Mahmoud Ameri<sup>3</sup>

1.M.sc. student, School of Civil Engineering, Iran University of Science and Technology (IUST), Tehran, Iran

2.Assistant Professor, School of Civil Engineering, Iran University of Science and Technology (IUST), Tehran, Iran,

3.Professor, School of Civil Engineering, Iran University of Science and Technology (IUST), Tehran, Iran

## Abstract

Because of having amazing mechanical physical properties including noise pollution reduction, quiet, reliability, most cost-effective, sustainable and lasting life, asphalt pavement system has been utilized for parking lots, roadways, airstrips by the most state and federal governments highly prefer asphalt pavement by many civil engineers. Generally, asphalt pavement is made up of sand, stone (aggregate), liquid (petroleum) asphalt and additives. Accordingly, the main objective of this article is to analyze the thermo-dynamic behavior of porous viscoelastic asphalt pavement system under a moving harmonic load based on the classical plate theory. The asphalt pavement system is modeled as a rectangular sandwich plate structure. Three states of porosity distribution pattern, i.e., uniform porosity, non-uniform symmetric porosity, non-uniform asymmetric porosity distributions are considered for porous asphalt layer which are supposed to vary along the in-plane and thickness directions. The equations of motion are extracted in accordance with Hamilton's variational principle and then solved using the expanded Fourier series. The accuracy and correctness of the extracted formulation are firmly demonstrated by comparing the data accessible in the literature and finite element simulation COMSOL Multiphysics®. In this study, the dynamic response of the asphalt pavement system was evaluated analytically and numerically by considering the porous asphalt layer under the harmonic load at various velocities in a thermal environment. The classical theory of plates was used for the analytical modeling of the system. The dynamic equations were derived in view of the relations for porosity and thermal strain in the stress-strain matrices in combination with Hamilton's principle. With the aid of Fourier series expansions, and given the considered boundary conditions, the partial dynamic equations were transformed into differential dynamic equations. Furthermore, the dynamic response of the system was obtained using Laplace transform, which was then evaluated in terms of effective parameters. A finite element simulation software was also used to validate the results against the published articles. Parameter studies reveal the impacts of the velocity and the excitation frequency of the harmonic moving load, porosity distributions, and temperature changes on the dynamic response of the pavement system. According to the conducted studies thus far, the dynamic behavior of asphalt pavement system is inevitably affected by such outcomes. Furthermore, the results demonstrated that non-uniform symmetric porosity case is more suitable than the other two types of porosity, the temperature changes lead to a softer asphalt pavement system, with increasing porosity, the dynamic response of the system rises in all the cases of porosity distributions and the amplitude of nondimensional dynamic deflection is directly proportional to the frequency of excitation up to the resonance. It is seen that for a smaller velocity parameter in this case, i.e.  $\alpha = 0.1$ , and with increasing frequency parameter, i.e. from  $\beta = 0$  to resonance  $\beta = 1$ , higher dimensionless dynamic deflections are observed. However, a reversed behavior is displayed if the excitation frequency parameter surpasses the resonance. For  $\beta \neq 0$  (moving harmonic load), and a predetermined excitation frequency, the number of oscillations is inversely proportionate to the velocity parameter. Accordingly, a twofold increase in the velocity parameter halves the number of oscillations as observed in the deflection time response.

**Keywords:** Asphalt Pavement System, Dynamic Response, Porosity, Harmonic Moving Load, Temperature Changes.